

高发射率节能涂料及其应用

屠平亮 陈建康 周建初

(南京航空航天大学材料系, 江苏, 南京, 210016)

摘要: 讨论了高发射率涂料节能的条件。制备了一种在 1000°C 仍保持高发射率的优质涂料，并解决了涂料与金属基体的粘结工艺，用此涂料制成增强辐射电阻带和复合炉衬，得到的新炉比旧炉节能 20~40%。

关键词: 发射率, 涂料, 节能。

引言

高发射率涂料是指在特定温度下，发射与吸收电磁波强的涂料。是否节能，国内外都有争议，有人认为涂料在低温下节能，在中温（800~1000°C）无效^[1]，涂料节能的关键问题是：(1) 要有高的热发射率，并在中温区维持不变。(2) 要有适当的使用方法，扬发射率高之长，避吸收率高之短，即应涂在发热元件及隔热性好的材料上，如硅酸铝陶瓷纤维上。(3) 要解决涂料与金属基体粘接的牢固度，我们就上述关键问题进行了试验研究。

1 优质涂料的研制

文献 [2-5] 报道了国外几种高发射率涂料。骨料（粉料）多用氧化物，但氧化物本身发射率不高。日本曾透露可用多种氧化物烧结提高其发射率，但其工艺及机理未见报道。国外对粘结剂未予报道。我们以价廉易得的工业用 Fe_2O_3 为基本原料，加入 20~30% 的 MnO_2 ，5~10% 的 Co_2O_3 和 CuO ，以及其他少量添加剂，在 1260~1280°C 下烧结 2~3 h，获得优质的涂料骨料。由图 1 可见，它在 500~650°C 各个波段的光谱发射率，除比 HfB 稍低外，优于其它涂料，但 HfB 甚贵且有毒，无实用可能。

几种材料的法向全发射率 ε_n 随温度的变化如图 2 所示，可见本文涂料，自 650~1000°C 均居高不下（1000°C 以上限于设备条件未做试验）。试验表明，加粘结剂固化后，发射率基本不变。我们也做过 1100°C 长期加热的抗老化试验，发射率基本稳定。

在 Fe_2O_3 中加 MnO_2 、 Co_2O_3 和 CuO 是必要的，它们可促使 Fe_2O_3 在烧结中改变结构，成为 Fe_3O_4 ； Mn 、 Co 和 Cu 等原子起了掺杂作用。另外加入一些添加剂，可进一

本文 1992 年 10 月 8 日收到，修改稿 1993 年 9 月 7 日收到。

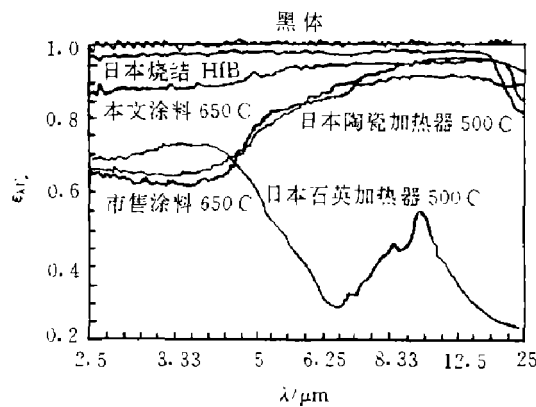


图 1 几种涂料及加热器的光谱发射率
Fig. 1 Spectral emissivities of some coatings and heating apparatus

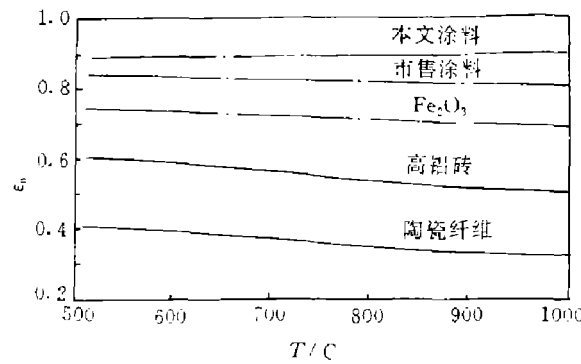


图 2 几种材料的 ε_n 随温度的变化
Fig. 2 Temperature dependence of emissivity ε_n for some materials

步提高其发射率。烧结温度的影响十分显著，几种氧化物的混合物，烧结前发射率甚低，在空气中分别在 950℃、1150℃和 1265℃烧结 2 h，其发射率依次明显提高。随着烧结温度的上升，烧结产物的硬度和线收缩率也依次提高，说明温度越高，反应越完全，X-光衍射结构分析结果也说明了这一点。

上述多种氧化物的混合物，烧结后颜色由棕红变为深黑，并出现强磁性。用旋靶 X 光衍射仪测试，1265℃烧结 2 h 后产物的衍射谱如图 3 所示，可见没有原来的 Fe_2O_3 、 MnO_2 、 Co_2O_3 和 CuO 晶相，而出现了 Fe_3O_4 ，还出现了多种元素的复杂氧化物，如 CuFeMnO_4 、 $\text{Co}_2\text{Fe}_2\text{O}_4$ 、 CuFe_2O_4 等新相。1095℃烧结的结果与此类似，但有部份 Fe_2O_3 ，说明反应不完全。

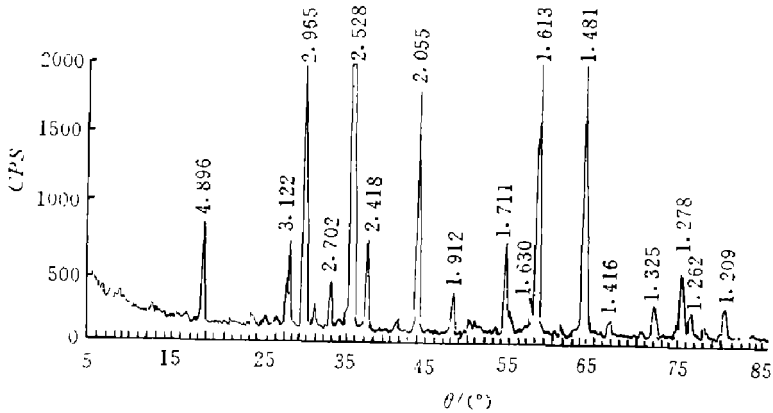


图 3 1265℃烧结时试样的 X 射线衍射谱
(D/MAX-ΓA X 射线衍射仪 Cu/石墨 40 kV 150 mA)
Fig. 3 X-ray diffraction spectrum of sample sintered at 1265°C

Fe_3O_4 属于反型尖晶石结构， O^{2-} 离子作面心立方紧密堆积，每个晶胞含有 32 个 O^{2-} 离子，可以表示为 $\text{Fe}_8^{2+}\text{Fe}_{16}^{3+}\text{O}_{32}^{2-}$ 。在它的晶胞中，8 个 Fe^{2+} 离子进入八面体空隙，而 Fe^{3+} 除 8 个进入八面体空隙，还有八个进入四面体空隙。尖晶石型化合物的通式为

AB_2O_4 , 其中 A 可以是 Mg^{2+} 、 Mn^{2+} 、 Fe^{2+} 、 Co^{2+} 、 Zn^{2+} 等二价阳离子, B 可以是 Al^{3+} 、 Cr^{3+} 、 Ga^{3+} 、 Fe^{3+} 、 Co^{3+} 等三阶阳离子。在我们的试验情况下, 显然是八面体空隙中的 Fe^{2+} , 部份为 Mn^{2+} 、 Co^{2+} 、 Cu^{2+} 所取代。八面体空隙的配位数为 6, 当配位数为 6 时, Fe^{2+} 的离子半径为 $0.78 \times 10^{-4} \mu m$, Mn^{2+} 、 Co^{2+} 、 Cu^{2+} 的离子半径分别为 $0.83 \times 10^{-4} \mu m$ 、 $0.745 \times 10^{-4} \mu m$ 和 $0.73 \times 10^{-4} \mu m$, 后三者的离子半径与 Fe^{2+} 的离子半径相近, 但不相等, 它们取代 Fe^{2+} 进入八面体空隙, 起了掺杂作用, 必然引起晶格畸变, 并导致分子振动和转动状态的改变, 在局部地区形成杂质能级, 增加了电子从满带跃迁到导带的可能性。本征能级与杂质能级的跃迁, 产生的光吸收波长总是比基本波长长, 杂质吸收有可能使基本吸收的波长向近红外波段方向扩展, 从而使低波段区吸收系数增加, 提高这一波段的光谱发射率。杂质还可能产生比热激发更多的载流子, 增加自由载流子的吸收, 这便是多种氧化物反应烧结后, 发射率大幅度提高的原因。

由于烧结温度高于使用温度, 涂料的晶格组织比较稳定, 所以使用中不会老化。

2 涂层与金属基体的粘结

陶瓷涂层的晶体结构与金属发热元件不同, 彼此很难互溶, 所以它们之间的粘接是个难题。采用有机粘结剂不能耐受高温, 市售无机粘结剂粘结不牢。本文采用的热化学反应法^[6]是一项新技术, 我们将含有 SiO_2 、 Al_2O_3 、 Cr_2O_3 胶粒(尺寸为 nm 级)的水基悬浮液, 涂在经过净化活化的金属表面上, 经室温阴干, 并在 $90\sim100^\circ C$ 下烘干, 然后在 $700\sim750^\circ C$ 下固化 1 h 即可。这样涂层与金属基体不仅形成机械结合, 而且形成了化学结合。

涂层的结合力通常用试片的冷弯角度及抗热震击性能来表征。试验表明, 我们的涂层试片可冷弯 120° , 在 $1100^\circ C$ 下淬水 5 次不掉。其结合力远高于 HB5341-86, 也比国外几种涂层好。从 1989 年开始, 我们用此方法制备的涂层电阻带, 在使用中从未脱落。

在 $1Cr18Ni9Ti$ 试片上用此方法涂了高发射率涂料, 其界面的电子探针微区成份分析如图 4 所示。值得注意的是: (1) 界面成份是阶梯过渡而非突变; (2) Si 的分布集中在涂层与金属基体的界面上。这表明界面已出现了某些富 Si 的复合氧化物相, 它一面与涂层的氧化物相连, 一面又与金属表面自然形成的氧化物(氧化铬、氧化镍、氧化铁)结合良好, 这便是用此法制备涂层结合力强的原因。

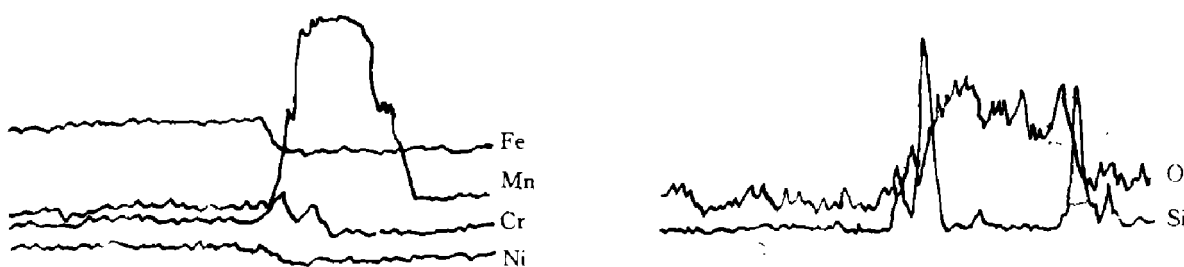


图 4 涂层基体及界面的电子探针分析

Fig. 4 SEM morphology and profiles of elements in coating matrix and at interface

3 在工业炉上的应用及节能效果

我们将涂料用于生产性电阻炉上，主要采取两项措施：（1）加热元件采用经过扭转的电阻带，在面向炉膛工件的一侧涂上涂料，使加热元件发出热量的定向辐射得到加强。（2）炉衬采用复合结构，以轻质砖为骨架，内侧贴上20 mm的硅酸铝陶瓷纤维毡，毡的表面涂上涂料，从而提高陶瓷纤维毡的强度和发射率，低导热性的陶瓷纤维毡可以抑制涂料吸收率高的缺点，两者结合可相得益彰^[7]。用此方法新造和改造了电阻炉数百台，都收到高效节能效果。两台样机经国家电炉质量监督中心实测，其性能指标见表1，空炉升温到950℃所需时间以及空炉能耗都远低于国家标准。新旧炉子对比，实际节能效果大于20~40%（见表2）。此项技术获得能源部推广，还被国务院、国家科委列入新技术推广项目。

表1 样机主要指标实测值
Table 1 Measured main performances of sample furnaces

试验项目	JB4311.5-91	RJ2-60-9型	GB10966.1-89	RX3-45-9型
	要求	样机实测	要求	样机实测
空炉升温时间(h)	≤3.0	0.379	≤2.5	0.925
空炉损失(kW)	≤11	6.82	≤9	7.82
炉温稳定性(℃)	±10	±1.7	±10	±0.55
空炉能耗(kW·h)	≤450	193.6	≤320	196.4

表2 用户实际节电效果
Table 2 The actual energy-saving effects reported by users

使用单位	炉型	节电效果
株州南方动力公司	RX3-75-9	升温节电45.2%，总节电37.78%
山东博山锻压厂	RX3-75-9	升温节电55.6%，保温节电21%
浙江安吉机动车辆厂	RX3-75-9	升温节电70%，总节电57%
南京晨光机器厂	RT2-75-9	热效率由24.5%提高到45%
苏州车升电炉厂	RJ2-60-9	造炉20余台，节电30~50%
江汉油田	3×3×12m ³ 大退火炉	上海交通大学设计，比常规设计降低功耗30%

此涂料也可在低温场合应用，长春远红外设备元件厂、安徽无为工矿电器厂用此涂料解决了与金属发热元件的粘结问题，并提高了烘道的发射率。涂料在燃料炉窑上，也有广阔应用前景，炉壁涂上了涂料，除提高发射率，加强辐射传热外，还改变了燃烧产物H₂O、CO₂的发射波谱，使其由断续波谱变为连续波谱，炉壁发射的热量能较好地被钢件吸收。

4 结语

(1) 使用高发射率涂料可以节能，但必须在使用温度下有高发射率，并且采取合适的

工艺措施.

(2) 以 Fe_2O_3 为基料, 加 MnO_2 、 Co_2O_3 、 CuO 等添加剂, 烧结后形成反型尖晶石结构的 $\text{Fe}_8^{2+}\text{Fe}_{16}^{3+}\text{O}_{32}^{2-}$, 其中部份 Fe 离子为 Mn、Co、Cu 离子取代, 起了掺杂作用, 提高了发射率.

(3) 以 SiO_2 、 Al_2O_3 、 Cr_2O_3 的水悬浮液作粘结剂, 用热化学反应法制备的涂层, 与金属基体粘结牢固.

(4) 在电阻炉上采用有涂料的电阻带和复合炉衬, 可以做到高效节能, 涂料在燃料炉窑上也有良好的应用前景.

致谢: 感谢上海交通大学潘健先教授, 中国科学院上海技术物理研究所糜正瑜副研究员, 国家电炉质量监督测试中心孙贺一高工, 江苏机电研究所研究员级高工徐安达等同志的支持与指导.

参考文献

- 1 周建初等. 电炉, 1990;(5):32-35
- 2 H Beven Co. *Ceramic Industrial J.*, 1988;97(6):26-27
- 3 Clement G. *Heat Treatment of Metals*, 1986;13(3):76-79
- 4 Hellander J. *Industrial Heating*, 1990;57(7):22-25
- 5 高岛广夫. セラミックス, 1989;24(4):754-863
- 6 石井乔. 东芝レビュ—, 1989;44(11):875-877
- 7 周建初等. 金属热处理, 1992;(3):19-23

HIGH EMISSIVITY COATING AND ITS APPLICATION FOR ENERGY-SAVING

TU PINGLIANG, CHEN JIANKANG, ZHOU JIANCHU

(Department of Materials, Nanjing University of Aeronautics and Astronautics,
Nanjing, Jiangsu 210016, China)

Abstract: The conditions for energy saving of high emissivity coating are discussed. A kind of high-quality coating with high emissivity up to 1000°C was prepared. The technology of adhesion of coating to metallic substrate was solved. Using the coating, the emissivity-enhanced resistance tapes and complex furnace linings were manufactured. New furnaces obtained by using the coating provide 20~40% energy saving as compared with the old furnaces.

Key words: emissivity, coating, energy-saving.